Лекция 8

Тема лекции: Влияние температуры на характеристики диодов

Цель лекции:

Изучить, как изменение температуры влияет на физические процессы в p—n переходе, определить зависимость вольтамперных характеристик (BAX) диода от температуры, рассмотреть основные температурные коэффициенты и механизмы деградации параметров диодов при нагревании.

Основные вопросы:

- 1. Физические основы температурной зависимости характеристик р- n перехода.
- 2. Температурная зависимость тока насыщения.
- 3. Обратные токи и пробой при повышенных температурах.
- 4. Температурная зависимость сопротивления и ёмкости p-n перехода
- 5. Температурная компенсация и практические применения.

Краткие тезисы:

Как уже отмечалось, при прямом смещении ток диода инжекционный, большой по величине и представляет собой диффузионную компоненту тока основных носителей. При обратном смещении ток диода маленький по величине и представляет собой дрейфовую компоненту тока неосновных носителей (рис. 4.8). Зависимость тока от напряжения определяется соотношением: $J = J_s(e^{\beta V_G} - 1)$.

Для несимметричного p- n^+ перехода $N_{\rm A}$ << $N_{\rm D}$ концентрация неосновных носителей в p-области существенно выше, чем в n-области $n_{\rm p0}$ >> $p_{\rm n0}$. Обратный ток в этом случае обусловлен дрейфовой электронной компонентой $n_{\rm p0} = \frac{n_i^2}{n_{\rm n0}} \sim e^{-\frac{E_{\rm g}}{kT}}$, поскольку $n_i = \sqrt{N_{\rm C}N_{\rm V}}e^{-\frac{E_{\rm g}}{2kT}}$.

Обратный ток диода в этом случае будет $I_0 = const \cdot e^{-\frac{E_g}{2kT}}$.

Вблизи комнатной температуры T_{κ} при ее небольших отклонениях можно записать: $\frac{1}{T_{\epsilon}} - \frac{1}{T} \sim \frac{\Delta T}{T_{\epsilon}}$, тогда температурная зависимость тока преобразуется к следующему виду:

$$I_0(T) \approx I_R(T_{\hat{e}})e^{\alpha \Delta T}$$
 (4.16)

Величина коэффициента α для различных полупроводников будет следующей: для германия $\alpha_{\rm Ge}=0.09$ град⁻¹ до $T=70^{\rm o}$, для кремния $\alpha_{\rm Si}=0.13$ град⁻¹ до $T=120^{\rm o}$.

В практических случаях используют понятие температуры удвоения обратного тока диода. Соотношение (4.16) преобразуется к следующей форме, при этом

$$I_0(T) = I_0(T_0) 2 \frac{\Delta T}{T^*},$$
 (4.17)

где $T^* = \frac{\ln 2}{a}$ — температура удвоения тока, величина этой температуры будет равна: $T^* = 10; 8; 7; 5$, при значениях $\alpha = 0.07; 0.03; 0.1; 0.13$.

Из соотношения (4.17) и значения температуры удвоения тока $T^* = 10$ следует простое правило: обратный ток диода удваивается при увеличении температуры на каждые 10 °C.

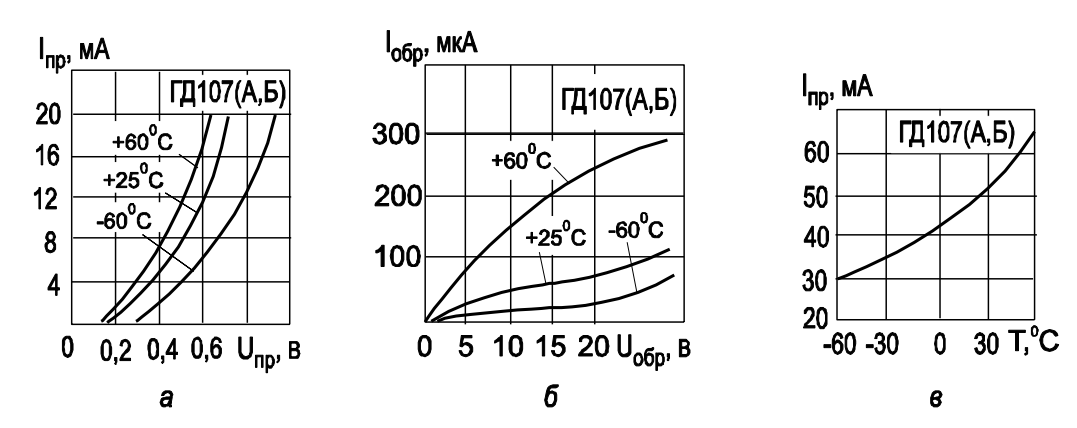


Рис. 4.8.- Вольт-амперные характеристики диода ГД107 [23, 25]: a) при прямом смещении; δ) при обратном смещении; ϵ) температурная зависимость прямого тока диода

Стабилитроны.

Стабилитроном называется полупроводниковый диод, вольт-амперная характеристика которого имеет область резкой зависимости тока от напряжения на обратном участке вольт-амперной характеристики.

ВАХ стабилитрона имеет вид, представленный на рисунке 4.9.

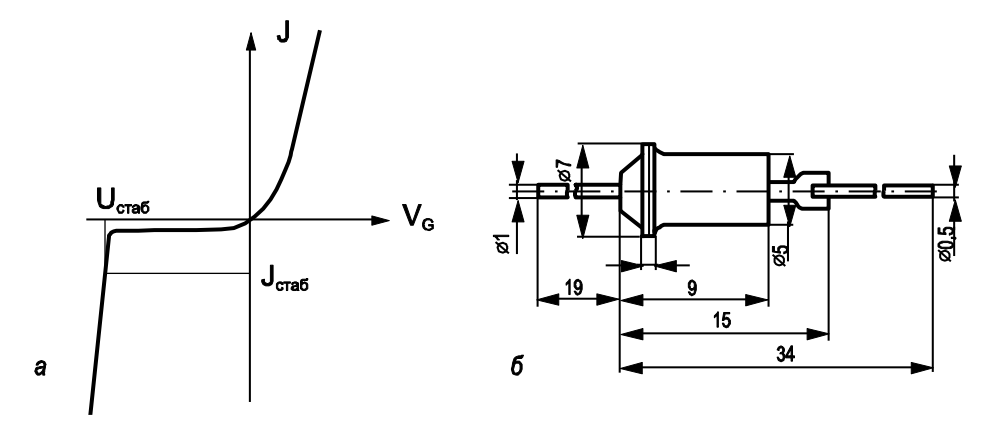


Рис. 4.9. - Вольт-амперная характеристика (a) и конструкция корпуса (δ) стабилитрона

При достижении напряжения на стабилитроне, называемого напряжением стабилизации $U_{\text{стаб}}$, ток через стабилитрон резко возрастает. Дифференциальное сопротивление $R_{\text{диф}}$ идеального стабилитрона на этом участке ВАХ стремится к 0, в реальных приборах величина $R_{\text{диф}}$ составляет значение: $R_{\text{лиф}} \approx 2 \div 50$ Ом.

Основное назначение стабилитрона — стабилизация напряжения на нагрузке, при изменяющемся напряжении во внешней цепи. В связи с этим последовательно со стабилитроном включают нагрузочное сопротивление, демпфирующее изменение внешнего напряжения. Поэтому стабилитрон называют также опорным диодом.

Напряжение стабилизации $U_{\text{стаб}}$ зависит от физического механизма, обуславливающего резкую зависимость тока от напряжения. Различают два физических механизма, ответственных за такую зависимость тока от напряжения, – лавинный и туннельный пробой p-n перехода.

Для стабилитронов с туннельным механизмом пробоя напряжение стабилизации $U_{\rm стаб}$ невелико и составляет величину менее 5 вольт: $U_{\rm стаб} < 5$ В. Для стабилитронов с лавинным механизмом пробоя напряжение стабилизации обычно имеет большие значения и составляет величину более 8 вольт: $U_{\rm стаб} > 8$ В.

Туннельный пробой в полупроводниках.

Проанализируем более подробно механизмы туннельного и лавинного пробоя.

Рассмотрим зонную диаграмму диода с p-n переходом при обратном смещении при условии, что области эмиттера и базы диода легированы достаточно сильно (рис. 4.10).

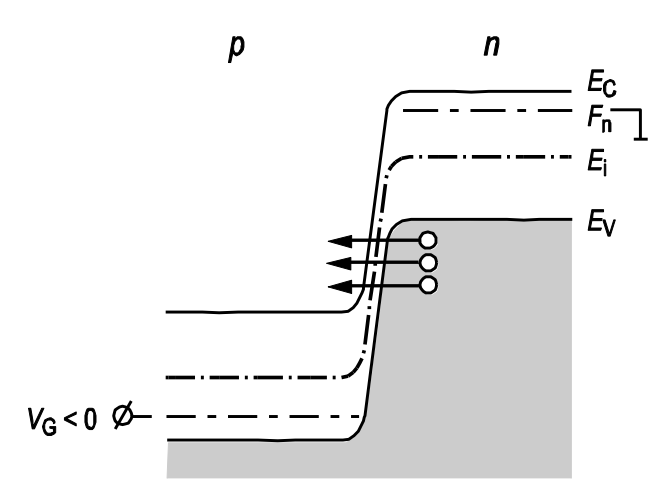


Рис. 4.10. - Зонная диаграмма диода на базе сильнолегированного *p-n* перехода при обратном смещении

Квантово-механическое рассмотрение туннельных переходов для электронов показывает, что в том случае, когда геометрическая ширина потенциального барьера сравнима с дебройлевской длиной волны электрона, возможны туннельные переходы электронов между заполненными и свободными состояниями, отделенными потенциальным барьером.

Форма потенциального барьера обусловлена полем *p-n* перехода. На рисунке 4.11 схематически изображен волновой пакет при туннелировании через потенциальный барьер треугольной формы.

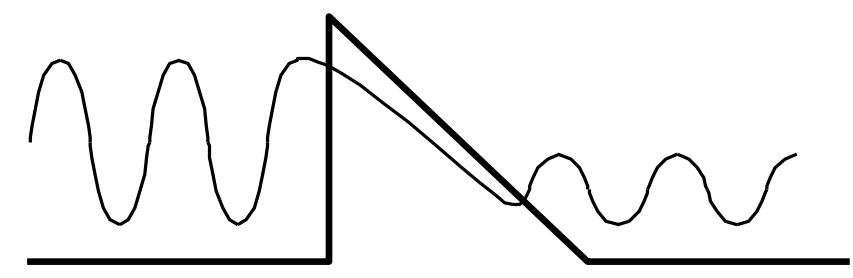


Рис. 4.11. - Схематическое изображение туннелирования волнового пакета через потенциальный барьер

Возьмем уравнение Шредингера $H\psi=E\psi$, где H- гамильтониан для свободного электрона $\hat{H}=-\frac{\hbar^2}{2m}\frac{\partial^2}{\partial x^2}+U(x)$, E- энергия электрона.

Введем
$$\alpha^2 = \frac{2m}{\hbar^2} E; \ \beta = \frac{2m}{\hbar^2} (E_{\rm g} - E).$$

Тогда снаружи от потенциального барьера уравнение Шредингера будет иметь вид:

$$\frac{d^2\psi}{dx^2} + \alpha^2\psi = 0.$$

Внутри потенциального барьера $\frac{d^2\psi}{dx^2} - \beta^2\psi = 0$.

Решение для волновых функций электрона будем искать в следующем виде:

 $\psi = A_1 e^{ikx} + B_1 e^{-ikx} -$ падающая волна и отраженная,

 $\psi = A_{\rm s} e^{ikx} -$ прошедшая волна,

 $\psi = A_2 e^{-\beta x} + B_2 e^{\beta x}$ — волна в барьере.

Используем условие непрерывности для волновой функции и ее производные $\psi, \frac{d\psi}{dx}$ на границах потенциального барьера, а также предположение об узком и глубоком потенциальном барьере ($\beta W >> 1$).

В этом случае для вероятности туннельного перехода T получаем:

$$T_{\rm t} = \frac{\left|\psi_{\rm III}\right|^2}{\left|\psi_{\rm I}\right|^2} = \frac{A_{\rm s}^2}{A_{\rm l}^2} = 4 \exp\left(-\frac{4\sqrt{2m}E_{\rm g}^{3/2}}{3qE\hbar}\right).$$

Выражение для туннельного тока электронов из зоны проводимости на свободные места в валентной зоне будет описываться следующим соотношением:

$$I_{C\to V} = AT_{t} \int_{E_{C}}^{E_{V}} f_{C}(E) N_{C}(E) [1 - f_{V}(E)] N_{V}(E) dE$$

где использованы стандартные обозначения для функции распределения и плотности квантовых состояний.

При равновесных условиях на p^+ - n^+ переходе токи слева и справа друг друга уравновешивают: $I_{\text{C} o \text{V}} = I_{\text{V} o \text{C}}$.

При подаче напряжения туннельные токи слева и справа друг друга уже не уравновешивают:

$$I = I_{C \to V} - I_{V \to C} = AT_{t} \int (f_{C} - f_{V}) N_{C}(E) N_{V}(E) dE.$$
 (4.18)

Здесь $f_{\rm C}, f_{\rm V}$ — неравновесные функции распределения для электронов в зоне проводимости и валентной зоне.

Для барьера треугольной формы получено аналитическое выражение для зависимости туннельного тока $J_{\text{тун}}$ от напряженности электрического поля E следующего вида:

$$I_{\text{òói}} = AU^2 \exp\left(-\frac{10^8 E_{\text{g}}^{3/2}}{E}\right).$$
 (4.19)

За напряженность электрического поля пробоя $E_{\rm пр}$ условно принимают такое значение поля E, когда происходит десятикратное возрастание обратного тока стабилитрона: $I_{\rm obj}=10\cdot I_{\rm 0}$.

При этом для p-n переходов из различных полупроводников величина электрического поля пробоя $E_{\rm np}$ составляет значения: кремний Si: $E_{\rm np} = 4 \cdot 10^5 \; {\rm B/cm};$ германий Ge: $E_{\rm np} = 2 \cdot 10^5 \; {\rm B/cm}.$ Туннельный пробой в полупроводниках называют также зинеровским пробоем.

Оценим напряжение $U_{\rm z}$, при котором происходит туннельный пробой. Будем считать, что величина поля пробоя $E_{\rm пр}$ определяется средним значением электрического поля в p-n переходе $E_{\rm ro} = \frac{U_{\rm rio}}{W}$. Поскольку ширина области пространственного заряда W зависит от напряжения по закону $W = \sqrt{\frac{2\varepsilon_{\rm s}\varepsilon_{\rm 0}}{qN_{\rm D}}}U_{\rm rio}$, то, приравнивая значения W из выражений $\frac{U_{\rm rio}}{E_{\rm ro}^2} = \frac{2\varepsilon_{\rm s}\varepsilon_{\rm 0}}{qN_{\rm D}}$, получаем, что напряжение туннельного пробоя будет определяться следующим соотношением [5, 2]:

$$U_{\hat{i}\hat{a}\hat{\delta}} = \frac{2\varepsilon_{s}\varepsilon_{0}E_{\hat{i}\hat{\delta}}^{2}}{qN_{p}}.$$
(4.20)

Рассмотрим, как зависит напряжение туннельного пробоя от удельного сопротивления базы стабилитрона. Поскольку легирующая концентрация в базе $N_{\rm D}$ связана с удельным сопротивлением $\rho_{\rm базы}$ соотношением $N_{\rm D}=\frac{1}{\rho\mu\!e}$, получаем:

$$U_{z} = \frac{1}{2} \varepsilon_{s} \varepsilon_{0} \mu_{\acute{a}} E_{70}^{2} \rho_{\acute{a}\grave{a}\varsigma\hat{u}}. \tag{4.21}$$

Из уравнения (4.21) следует, что напряжение туннельного пробоя $U_{\rm z}$ возрастает с ростом сопротивления базы $\rho_{\rm базы}$.

Эмпирические зависимости напряжения туннельного пробоя $U_{\rm z}$ для различных полупроводников имеют следующий вид:

германий (Ge): $U_z = 100 \rho_n + 50 \rho_p$;

кремний (Si): $U_z = 40\rho_n + 8\rho_p$,

где $\rho_{\rm n}, \rho_{\rm p}$ – удельные сопротивления n- и p-слоев, выраженные в (Ом·см).

Лавинный пробой в полупроводниках.

Рассмотрим случай однородного электрического поля В полупроводнике. Если, двигаясь вдоль силовых линий электрического поля электрон на расстоянии, равном длине свободного пробега λ , наберет энергию, равную либо большую, чем ширина запрещенной зоны, то, неупруго рассеиваясь, тот электрон может вызвать генерацию еще электронно-дырочной пары. Дополнительно нагенерированные свободные носители также будут участвовать в аналогичном процессе. Это явление лавинного размножения свободных носителей в условиях сильного электрического поля получило название лавинного пробоя. На рисунке 4.12 показана схема, иллюстрирующая лавинный пробой.

Размеры геометрической области полупроводника W, в которой происходит лавинное умножение, должны быть существенно больше длины свободного пробега электрона λ . Соотношения, определяющие условие лавинного пробоя, будут следующие:

$$q\lambda E_{i\delta} \geq E_{g}; \quad W \gg \lambda.$$
 (4.22)

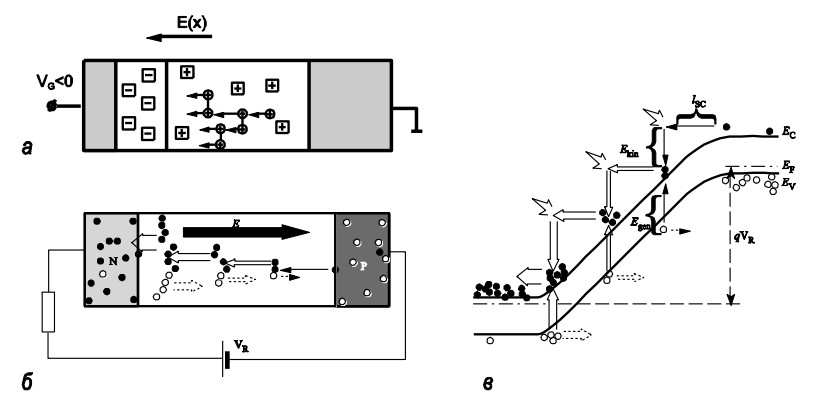


Рис. 4.12. - Схема, иллюстрирующая лавинный пробой в однородном полупроводнике [27, 10]:

- а) распределение электрического поля, доноров и акцепторов и свободных носителей;
- δ) распределение токов; ϵ) зонная диаграмма, иллюстрирующая лавинное умножение в

Одним из параметров лавинного пробоя является коэффициент лавинного умножения M, определяемый как количество актов лавинного умножения в области сильного электрического поля. Если обозначить начальный ток I_0 , то после лавинного умножения величина тока будет иметь вид: $I = M \cdot I_0$,

$$M = \frac{I}{I_0} = \frac{1}{1 - \left(\frac{U}{U_\mu}\right)^n},$$

где U_{μ} — напряжение лавинного пробоя, U — напряжение, n — коэффициент, равный 3 или 5 для Ge или Si соответственно.

Для несимметричного p^+ - n перехода расчет дает следующее значение напряжения лавинного пробоя $V_{\rm B}$ при условии, что максимальное значение поля в ОПЗ p^+ -n перехода можно приближенно оценить как среднее:

$$U_{\mu} = \frac{\varepsilon_{\rm s} \varepsilon_0 E_{\rm m}^2}{2qN_{\rm DA}} \,. \tag{4.23}$$

Величина электрического поля $E_{\rm m}$, определяемая соотношением (4.23), зависит от величины и типа легирующей концентрации $N_{\rm D}$, $N_{\rm A}$, температуры и лежит в диапазоне $E_{\rm m}$ = (4÷5) 10^5 В/см для кремния и $E_{\rm m}$ = (2÷3)· 10^5 В/см для германия.

Приборные характеристики стабилитронов.

Основными характеристиками стабилитрона являются ток $I_{\rm ct}$ и напряжение $U_{\rm ct}$ стабилизации, дифференциальное напряжение стабилитрона $r_{\rm ct}$ и температурная зависимость этих параметров. На рисунке 4.13 приведены дифференциальные параметры различных стабилитронов.

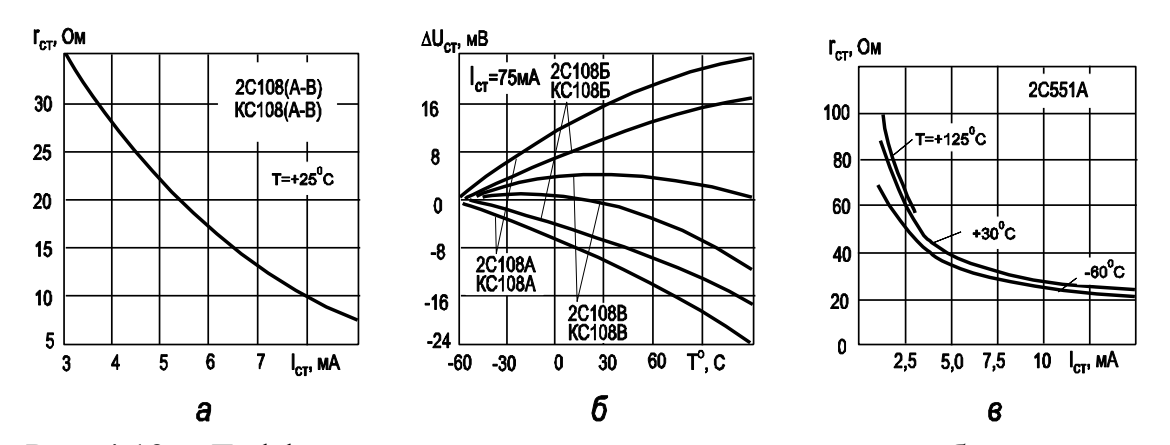


Рис. 4.13. - Дифференциальные параметры различных стабилитронов: *а*) зависимость дифференциального сопротивления от прямого тока 2С108; *δ*) зависимость изменения напряжения стабилизации от температуры для различных типономиналов стабилитрона 2С108; *в*) зависимость дифференциального сопротивления от прямого тока 2С351

Как следует из приведенных данных, значение дифференциального сопротивления для стабилитронов обратно пропорционально току стабилизации и составляет десятки Ом при рабочих параметрах токов. Точность значения напряжения стабилизации составляет десятки милливольт в стандартном температурном диапазоне.

Вопросы для контроля изучаемого материала:

- 1. Как изменение температуры влияет на концентрацию носителей в полупроводнике?
- 2. Почему с ростом температуры увеличивается ток насыщения?
- 3. Как изменяется форма ВАХ диода при нагревании?
- 4. Что такое температурный коэффициент прямого напряжения?
- 5. Как температура влияет на обратный ток и область пробоя?
- 6. Объясните причины теплового пробоя и термической нестабильности диодов.
- 7. Какие меры применяются для термостабилизации характеристик диодов?
- 8. В каких приборах используется температурная зависимость ВАХ диодов?

Список литературных источников:

1. Соколов В. И. Физика и технология полупроводников. — М.: МИФИ, 2018.

- 2. Трифонов Е. Н. Электронные процессы в твёрдых телах. М.: Наука, 2015.
- 3. Sze, S. M., Ng, K. K. Physics of Semiconductor Devices. Wiley, 2007.
- 4. Pierret, R. F. Semiconductor Device Fundamentals. Addison-Wesley, 1996.
- 5. Streetman, B. G., Banerjee, S. Solid State Electronic Devices. Prentice Hall, 2016.
- 6. Kittel, C. Introduction to Solid State Physics. Wiley, 2018.
- 7. Millman, J., Halkias, C. Electronic Devices and Circuits. McGraw-Hill, 2010.